



پیش‌بینی تغییرات فصلی پارامترهای اقلیمی در ۲۰ سال آتی با استفاده از Rیزمقیاس نمایی آماری داده های مدل HADCM3 (مطالعه موردی: استان خراسان رضوی)

بتول اشرف^{۱*} - محمد موسوی بایگی^۲ - غلامعلی کمالی^۳ - کامران داوری^۴

تاریخ دریافت: ۹۰/۱/۲۹

تاریخ پذیرش: ۹۰/۵/۱

چکیده

به دلیل تفکیک فضایی کم یا ساده سازی برخی پدیده های خرد مقیاس در مدل های گردش عمومی جو، این مدل ها نمی توانند تقریب درستی از شرایط آب و هوایی منطقه مورد مطالعه ارائه دهند، لذا بایستی خروجی آن ها تا حد ایستگاه هواشناسی ریز مقیاس گردد. در این تحقیق داده های مدل گردش عمومی جو HADCM3 با به کارگیری مدل LARS-WG5 طبق سه سناریوی A1B ، A2 و B1 تأیید شده IPCC ریزمقیاس شده و تغییرات فصلی بارش، دمای کمینه، دمای بیشینه و ساعت آفتابی استان خراسان رضوی در دوره ۲۰۱۱ - ۲۰۳۰ نتایج نشان داد که میزان بارش در سه فصل پاییز، زمستان و بهار در تمام شهرهای استان به استثنای تربت جام که در هر سه فصل مذکور و نیز کاشمر که در پاییز دارای روند کاهشی می باشد، افزایش خواهد یافت. بیشترین میزان افزایش بارندگی مربوط به شهر قوچان و کمترین آن متعلق به ایستگاه سرخس می باشد. دمای کمینه در همه فصول و طبق هر سه سناریوی مذکور در غالب شهرستان ها دارای روند افزایشی است. تنها استثنای این مود نیز در شهرستان سرخس و در فصل پاییز بر مبنای سناریوی A1B رخ داده است. در رابطه با دمای بیشینه و ساعت آفتابی، هرچند سه سناریوی مطرخ، الگوی یکسانی را تبیین نمی کنند اما به صورت کلی می توان گفت در ۲۰ سال آتی، دمای بیشینه استان خراسان رضوی، افزایش و میزان ساعت آفتابی کاهش خواهد یافت. همچنین با وجود تغییرات کمتر دمای بیشینه نسبت به دمای کمینه، افزایش دمای متوسط هوا در این دوره قابل انتظار می باشد. بنابراین طبق این نتایج، شرایط اقلیمی استان خراسان رضوی در ۲۰ سال آتی تقاضوت محسوسی با شرایط فعلی خواهد داشت و برنامه ریزی های بلندمدت و استراتژیک برای مدیریت این شرایط، ضروری به نظر می رسد.

واژه های کلیدی: تغییر اقلیم، Rیزمقیاس نمایی، مدل گردش عمومی جو، مدل LARS-WG5

مقدمه

مختلف، استفاده از متغیرهای اقلیمی شبیه سازی شده توسط مدل های گردش عمومی جفت شده جوی - اقیانوسی^۵ می باشد. این مدل ها قادرند پارامترهای جوی و اقیانوسی را برای یک دوره بلندمدت با استفاده از سناریوهای تأیید شده IPCC^۶ مدل سازی نمایند (۱۰، ۱۲ و ۱۴). اما ضعف عده آن ها قدرت تفکیک مکانی کم و نیز ساده سازی هایی است که برای فرایندهای اقلیمی در نظر می گیرند (۱۹). برای فائق آمدن به ضعف قدرت تفکیک پایین، لازم است که خروجی این مدل ها قبل از استفاده در مطالعات ارزیابی اثرات تغییر اقلیم،

اقلیم سیستم پیچیده ای است که عمدتاً به دلیل افزایش گازهای کلخانه ای در حال تغییر است. مهم ترین اثر تغییر اقلیم تأثیرگذاری آن بر پدیده های حدی جوی و اقلیمی نظیر طوفان، سیل، تگرگ، خشکسالی، امواج گرمایی و سرماهی نابهنجام خواهد بود (۹). معتبر ترین ابزار جهت بررسی اثرات پدیده تغییر اقلیم بر سیستم های

۱- به ترتیب دانشجوی کارشناسی ارشد و دانشیاران گروه مهندسی آب، دانشکده کشاورزی، دانشگاه فردوسی مشهد

۲- نویسنده مسئول (Email: samaneh_ashraf@yahoo.com)
۳- دانشیار گروه هواشناسی، دانشکده علوم پایه، دانشگاه آزاد اسلامی، واحد علوم و تحقیقات تهران

تولید شده و مقایسه آن با داده‌های مشاهده شده دوره آماری بر قابلیت بالای این مدل در شبیه‌سازی داده‌های روزانه تأکید نمودند. همچنین بایانیان و همکاران (۱) در تحقیق دیگری با استفاده از داده‌های سناریوی A1 مدل گردش عمومی جو-G ECHO- تقییرات اقلیمی ۴۳ ایستگاه سینوپتیک کشور را طی سه دهه آینده مورد بررسی قرار دادند. نتایج این تحقیق، حاکی از افزایش بارش‌های سنگین و فوق سنگین به ترتیب به میزان ۱۳ و ۳۹ درصد و در نتیجه افزایش احتمال رخداد سیل در دهه های آتی می باشد. همچنین نتایج این مطالعه نشان داد که میانگین سالانه دما به میزان ۰/۵ درجه سانتی گراد در سال‌های آینده افزایش خواهد یافت. در مطالعه عباسی و همکاران (۳) اقلیم استان خراسان جنوبی با استفاده از داده‌های LARS مدل گردش عمومی جو-G ECHO و مدل مولد هواشناسی- WG در دوره ۲۰۳۹ - ۲۰۱۰ بررسی و بیان شد که میانگین سالانه دما و بارش در این استان به ترتیب در حدود ۰/۳ درجه سانتی گراد و ۴ درصد افزایش خواهد یافت. همچنین کمال و مساح بوانی (۴) با استفاده از خروجی سناریوی A2 مدل HADCM3 و ریزمقیاسنمایی توسط مدل SDSM نوسانات و مقادیر متوسط متغیرهای دما و بارش خوبه قره سو در دوره ۲۰۴۰ - ۲۰۶۹ میلادی را شبیه سازی نموده و افزایش دما در ماه های مختلف سال بین ۰/۵ تا ۲ درجه سانتی گراد و تقییرات بارش بین ۱۰ - ۲۰ میلی متر را گزارش نمودند.

در مطالعه حاضر از داده های سه سناریوی A2 ، A1B و B1 مدل گردش عمومی جو HADCM3 برای ارزیابی تقییرات فصلی پارامترهای اقلیمی در استان خراسان رضوی در دوره ۲۰۱۱ - ۲۰۳۰ استفاده از روش ریزمقیاس نمایی آماری و به کارگیری مدل- LARS-WG استفاده شده است.

مواد و روش‌ها

منطقه مورد مطالعه در این تحقیق، استان خراسان رضوی در شمال شرقی ایران می باشد که موقعیت جغرافیایی آن در شکل ۱، نشان داده شده است.

استان خراسان رضوی در منطقه معتدل شمالی قرار گرفته و از نظر موقعیت طبیعی به دو بخش شمالی و جنوبی تقسیم می شود. بلندترین نقطه استان در ارتفاعات بینالود در شمال نیشابور با ارتفاع ۳۲۱۱ متر از سطح دریا و پست ترین نقطه استان در دشت سرخس با ارتفاع ۲۳۵ متر از سطح دریا در حاشیه مرز ایران و ترکمنستان قرار دارد. بخش‌های شمالی منطقه، بیشتر کوهستانی هستند و بین آن‌ها دشت‌های حاصلخیز قرار گرفته است که به دلیل دارا بودن میزان بارندگی قابل توجه از شرایط مناسب کشاورزی برخوردار می باشند. اما بخش‌های جنوبی استان به سبب مجاورت با کویر و پست بودن ناحیه

ریزمقیاس^۱ شوند (۱۱). ریز مقیاس نمایی را می‌توان به دو روش دینامیکی و آماری انجام داد (۸). در ریز مقیاس نمایی آماری^۲ می‌توان از روش‌های متدال آماری مانند رگرسیون و همچنین مدل‌های مولد هواشناسی^۳ استفاده کرد (۱۶). در روش ریز مقیاس نمایی دینامیکی^۴ دینامیکی، معادلات حاکم بر بسته هوا در شبکه‌های ریزتری از شبکه شبکه مدل گردش عمومی جو^۵ با استفاده از روش‌های آنالیز عددی از قبیل تفاضل محدود حل می‌شوند که در صورت استفاده از این روش می‌توان به نقیصه دوم مدل‌های گردش عمومی جو یعنی ساده- سازی فرایندهای جوی نیز فاقع آمد (۷ و ۱۷). در روش‌های آماری می‌توان در عرض چند ثانیه، ریز مقیاس نمایی را برای یک سایت یا ایستگاه مشخص در چندین دهه انجام داد در حالی که روش‌های دینامیکی معمولاً با محدودیت زمانی مواجه می‌باشند (۸) لذا استفاده از روش‌های آماری، خصوصاً در موقعی که هزینه کمتر و ارزیابی سریع‌تر عوامل مؤثر بر تقییرات آب و هوایی مورد نیاز باشد، از مزیت‌ها و قابلیت‌های بیشتری برخوردار است (۳). امروزه استفاده از انواع مدل- LARS-WG ، CLIMGEN SDSM و ROLL & MET برای مدل سازی رفتار اقلیم در نقاط مختلف جهان معمول بوده و مطالعات زیادی نیز در این زمینه صورت گرفته که از آن جمله می‌توان به موارد زیر اشاره کرد. مک کی و همکاران (۱۳) توانمندی مدل CLIMGEN را برای شبیه‌سازی پارامترهای هواشناسی در ایستگاه‌های انتاریو جنوبی در کانادا بررسی نمودند. در تحقیق دوبروسکی (۵) داده‌های تولید شده توسط مدل MET & ROLL در جمهوری چک مورد ارزیابی قرار گرفت. ویلی و همکاران (۱۸) مدل SDSM را برای ریز مقیاس نمایی داده های بارش انگلستان و ارزیابی تقییرات فصلی بارش این کشور در شرایط تقییر اقلیم مورد استفاده قرار دادند. زنف (۱۵) با استفاده از مدل LARS-WG سنازویه‌ای تقییر اقلیم را در انگلستان بررسی نموده و قابلیت این مدل برای شبیه سازی داده های روزانه را مورد تأیید قرار داد. الشمی و همکاران (۶) با استفاده از مدل‌های مولد هواشناسی، اثرات تقییر اقلیم در جنوب انگلستان را مورد مطالعه قرار داده و نتایج مشابهی را بیان نمودند. بایانیان و نجفی نیک (۲) توانمندی مدل LARS-WG را برای تولید داده های بارش، دمای کمینه، دمای بیشینه و تابش در ایستگاه‌های منتخب خراسان بزرگی مورد ارزیابی قرار داده و با توجه به میانگین و انحراف معیار داده‌های

1- downscale

2- Statistical downscaling

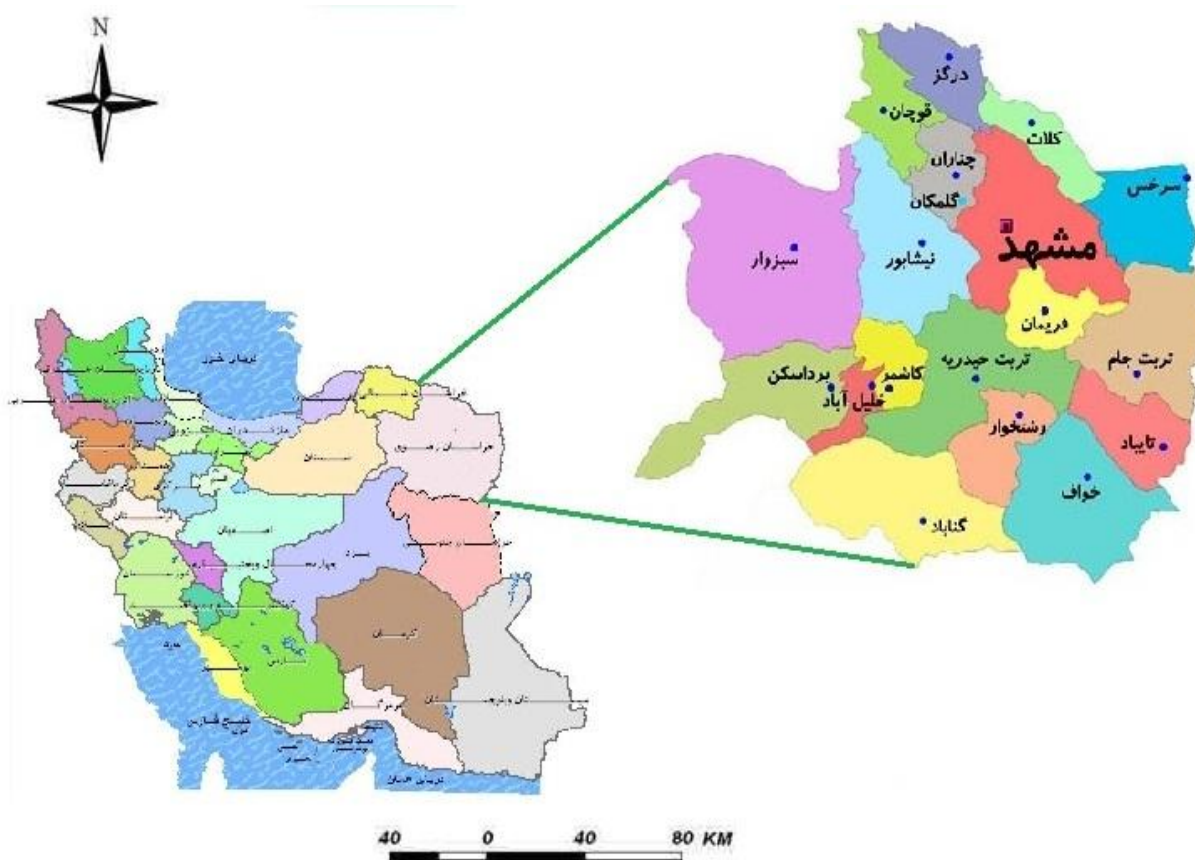
3- Weather generator models

4- Dynamical downscaling

5- General circulation model

جدول ۱ نشان داده شده است. لازم به ذکر است که داده‌های سایر ایستگاه‌های سینوپتیک موجود در سطح استان به دلیل کم بودن تعداد سال‌های آماری، قابل استناد نبوده و در مطالعه حاضر منظور نشده‌اند.

دارای میزان بارندگی کمی می‌باشند و شرایط مناسبی برای کشاورزی ندارند. اقلیم استان نیز به طور معمول خشک و نیمه خشک است. خصوصیات جغرافیایی و نیز نوع اقلیم (بر اساس طبقه‌بندی‌های اقلیمی دومارتون و آمیرژه) هریک از ایستگاه‌های مورد بررسی در



شکل ۱ - موقعیت جغرافیایی منطقه مورد مطالعه

جدول ۱ - خصوصیات جغرافیایی و نوع اقلیم ایستگاه‌های منتخب سینوپتیک استان خراسان رضوی

ایستگاه	طول جغرافیایی	عرض جغرافیایی	ارتفاع از سطح دریا (متر)	نوع اقلیم (دومارتون)	نوع اقلیم (آمیرژه)
تریت جام	۳۵° ۲۵' E	۶۰°	۹۵۰/۴	خشک سرد	خشک
تریت حیدریه	۵۹° ۱۳' E	۳۵° ۱۶' N	۱۴۵۰/۸	خشک سرد	نیمه خشک
سیزوار	۵۷° ۴۳' E	۳۶° ۱۲' N	۹۷۷/۶	خشک سرد	خشک
سرخس	۶۱° ۱۰' E	۳۶° ۳۲' N	۲۳۵	خشک معتدل	خشک
قوچان	۵۸° ۳۰' E	۳۷° ۴' N	۱۲۸۷	نیمه خشک سرد	نیمه خشک
کاسمر	۵۸° ۲۸' E	۳۵° ۱۲' N	۱۱۰/۷	خشک معتدل	خشک
گلمکان	۵۹° ۱۷' E	۳۶° ۲۹' N	۱۱۷۶	خشک سرد	نیمه خشک
گناباد	۵۸° ۴۱' E	۳۴° ۲۱' N	۱۰۵۶	خشک سرد	خشک
مشهد	۵۹° ۳۸' E	۳۶° ۱۶' N	۹۹۹/۲	خشک سرد	نیمه خشک
نیشابور	۵۸° ۴۸' E	۳۶° ۱۶' N	۱۲۱۳	خشک سرد	نیمه خشک

شاخص‌های خطاسنجی محاسبه شده، این مدل جهت ریزمقیاس نمایی آماری داده‌های مدل گرددش عمومی جو HADCM3 و تولید داده مصنوعی برای دوره ۲۰۱۱-۲۰۳۰ با استفاده از سه سناریوی A2، A1B و B1 (به ترتیب بدینانه، متوسط و خوشبینانه) تأیید شده توسط IPCC، اجرا شده و بدین ترتیب مقادیر روزانه پارامترهای مذکور تولید شد. در جدول ۲، خصوصیات مدل HADCM3 و سه سناریوی تغییر اقلیم مورد استفاده، نشان داده شده است.

سپس خروجی مدل (داده‌های روزانه بارش، دمای کمینه، دمای بیشینه و ساعت آفتابی در ۲۰ سال آتی) میانگین گیری شده و نرمال ماهانه پارامترهای اقلیمی در دوره ۲۰ ساله تحت مطالعه بر اساس سه سناریوی تغییر اقلیم ذکر شده به دست آمد. در گام بعدی از تفاضل مقادیر نرمال ماهانه دوره آتی (۲۰۱۱-۲۰۳۰) از دوره پایه (۱۹۹۱)، تغییرات ماهانه پارامترهای مورد بررسی محاسبه شد. سرانجام با میانگین گیری از تغییرات ماهانه، تغییرات فصلی نیز به دست آمده و نمودارهای مربوطه رسم شد.

نتایج و بحث

جدول ۳ نتایج ارزیابی داده‌های شبیه سازی شده توسط مدل و داده‌های واقعی دوره پایه را نشان می‌دهد.

چنان‌چه در جدول ۳ مشاهده می‌شود، مقدار ضریب تعیین در همه موارد از میزان قابل توجهی برخوردار می‌باشد. همچنین مقادیر شاخص‌های خطاسنجی نیز نسبتاً پایین می‌باشد که مؤید انتباطی نسبی و قابل قبول مقادیر شبیه سازی شده توسط مدل و مقادیر مشاهده شده دوره پایه است. لذا با توجه به این موارد، قابلیت و توانایی مدل در داده‌سازی مورد تأیید قرار گرفته و پس از آن شبیه‌سازی داده‌ها برای ۲۰ سال آتی صورت گرفت.

همان طور که در بخش قبل ذکر شد، تغییرات ماهانه پارامترهای مورد بررسی در دوره ۲۰۱۱-۲۰۳۰ برای همه ایستگاه‌های استان خراسان رضوی محاسبه شده و با میانگین گیری از آن‌ها، تغییرات فصلی به دست آمد. با توجه به این که چهار پارامتر در ۱۰ ایستگاه مورد مطالعه قرار گرفته است، امکان ارائه همه این نتایج در مقاله محدود نیست، بنابراین ایستگاه مشهد به عنوان نمونه انتخاب شده و نتایج ماهانه آن به طور کامل در جدول ۴ و تغییرات فصلی آن در شکل ۲ ارائه شده است. نمودارهای تغییرات فصلی مربوط به بارش، دمای کمینه، دمای بیشینه و ساعت آفتابی ۹ ایستگاه سینوپتیک دیگر به صورت موضوعی و توانمند به ترتیب در شکل‌های ۳ تا ۶ آمده است.

در این تحقیق جهت ریزمقیاس نمایی آماری داده‌های مدل گرددش عمومی جو HADCM3 از مدل LARS-WG5 که یکی از مشهورترین مدل‌های مولد داده‌های تصادفی وضع هوا می‌باشد، استفاده شده است. این مدل برای تولید مقادیر روزانه بارش، دمای کمینه، دمای بیشینه و تابش یا ساعت آفتابی در یک ایستگاه، تحت شرایط اقلیمی پایه و آینده به کار می‌رود. به طور کلی تولید داده توسط مدل LARS-WG5 در سه مرحله صورت می‌گیرد که عبارتند از کالیبره کردن داده‌ها، ارزیابی داده‌ها و تولید داده‌های هواشناسی برای دوره آتی. بر این اساس برای اجرای این مدل در تحقیق حاضر، ابتدا با در نظر گرفتن دوره بیست ساله ۱۹۹۱-۲۰۱۰ به عنوان دوره پایه، داده‌های مورد نیاز مدل شامل مقادیر روزانه بارش، دمای کمینه، دمای بیشینه و ساعت آفتابی ۱۰ ایستگاه هواشناسی سینوپتیک نام برده شده در جدول ۱ در این دوره آماری از مرکز اطلاعات و آمار سازمان هواشناسی کشور اخذ شد. پس از پردازش و مرتب سازی داده‌ها و تهییه فایل‌های ورودی، مدل برای دوره پایه اجرا شده و بدین ترتیب مرحله کالیبره کردن به پایان رسید. در مرحله بعد با استفاده از آماره‌های ضریب تعیین^۱ (R^2)، جذر میانگین مربعات خط^۲ (RMSE) و میانگین خطای مطلق^۳ (MAE) که روابط آن‌ها در ادامه آمده است، اقدام به ارزیابی داده‌های تولید شده توسط مدل و داده‌های واقعی (مشاهده شده) موجود در دوره پایه گردید (جدول ۳).

$$R^2 = \frac{\left[\sum_{i=1}^n (X_i - \bar{X})(Y_i - \bar{Y}) \right]^2}{\sum_{i=1}^n (X_i - \bar{X})^2 \sum_{i=1}^n (Y_i - \bar{Y})^2} \quad (1)$$

$$RMSE = \sqrt{\frac{\sum_{i=1}^n (X_i - Y_i)^2}{n}} \quad (2)$$

$$MAE = \frac{\sum_{i=1}^n |X_i - Y_i|}{n} \quad (3)$$

در این روابط X_i و Y_i به ترتیب i امین داده واقعی (مشاهده شده) و شبیه سازی شده توسط مدل، \bar{X} و \bar{Y} در جامعه آماری و n تعداد میانگین کل داده‌های X_i و Y_i در جامعه آماری و n کل نمونه‌های مورد ارزیابی می‌باشند. پس از بررسی نتایج مرحله ارزیابی و اطمینان از قابلیت مدل LARS-WG5 در شبیه سازی داده‌های هواشناسی با توجه به مقادیر بالای ضریب تعیین و مقادیر پایین

1- Coefficient of determination

2- Root Mean square error

3- Mean absolute error

جدول ۲- ویژگی های مدل گردش عمومی جو HADCM3 و سناریوهای تغییر اقلیم (۹)

طراح مدل	خصوصیات
مرکز تحقیقات و پیش‌بینی اقلیمی هادلی - بریتانیا	
دما، مؤلفه های افقی سرعت باد، فشار سطح، ظرفیت آب مایع، آب مایع موجود	متغیرهای پیشگویی جوی
دما، شوری، مؤلفه های افقی سرعت باد در جو باروکلینیک، عمق لایه اختلاط	متغیرهای پیشگویی اقیانوسی
عرض جغرافیایی ۲/۷۵ و طول جغرافیایی ۳/۷۵ درجه	قدرت تفکیک جوی
عرض جغرافیایی ۱/۲۵ و طول جغرافیایی ۱/۲۵ درجه	قدرت تفکیک اقیانوسی
استوا : ۴۱۷ کیلومتر × ۲۸۷ کیلومتر	
عرض ۴۵ درجه : ۲۹۵ کیلومتر × ۲۸۷ کیلومتر	قدرت تفکیک سطحی
رشد سریع اقتصادی، بیشینه رشد جمعیت در نیمه قرن و پس از آن روند کاهشی، رشد سریع فناوری های نوین و مؤثر	A ₁ B
رشد سریع جمعیت جهان، اقتصاد ناهمگن و همسو با شرایط منطقه ای در سراسر جهان	A ₂
همگرایی جمعیت در سطح جهان، تغییر در ساختار اقتصاد (کاهش مواد آلاینده و معرفی منابع فناوری پاک و مؤثر)	B ₁

جدول ۳- مقادیر آماره های واسنجی جهت ارزیابی مدل LARS-WG5 در دوره پایه (۱۹۹۱-۲۰۱۰)

ایستگاه	آماره	بارش	دما	دما	ساعت افتتابی
	R^2				
تریت جام					
تریت					
حیدریه					
	R^2				
سبزوار					
سرخس					
	R^2				
قوچان					
	R^2				
کاشمر					
گلمکان					
	R^2				
گناباد					
	R^2				
مشهد					
نبیشاپور					

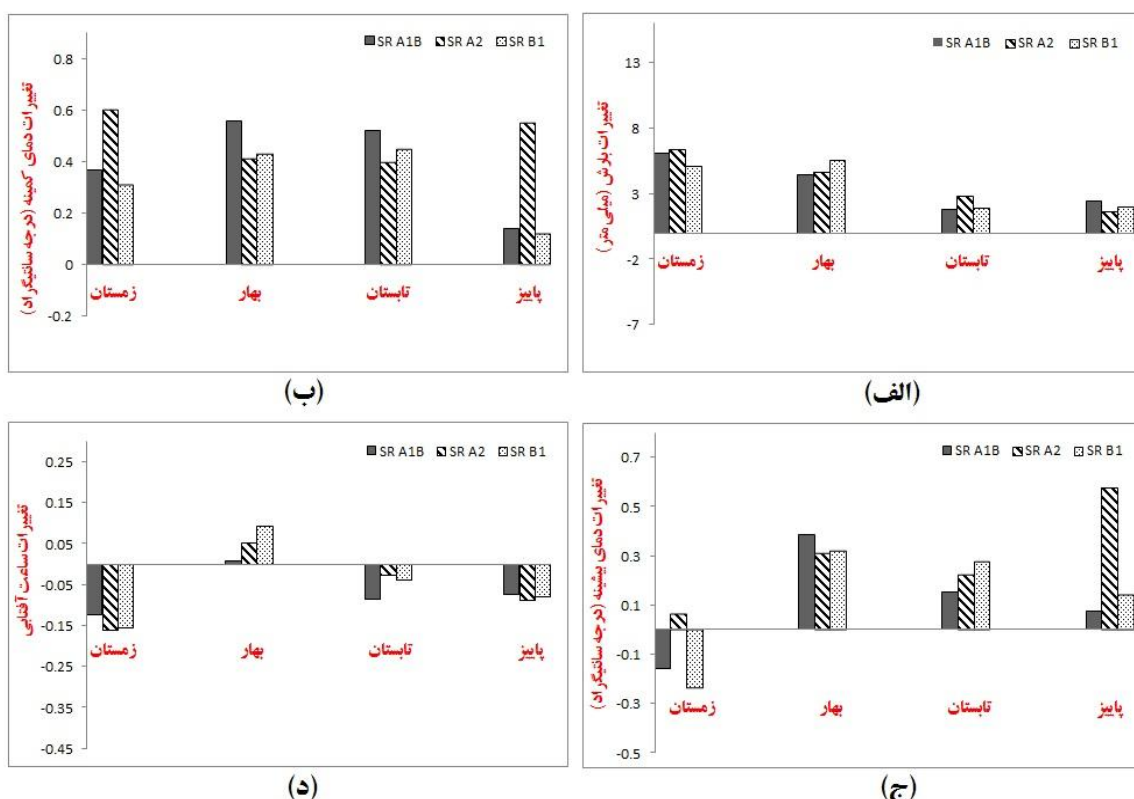
جدول ۴. نرمال های ماهانه حالت پایه و ۲۰ سال آتی و تغییرات ماهانه پارامترهای اقلیمی ایستگاه مشهد در ۲۰ سال آتی طبق سناریوهای مدل HADCM3

پارامتر	سناریو	Jan	Feb	Mar	Apr	May	Jun	Jul	Agu	Sep	Oct	Nov	Dec
حالت پایه		31.61	32.58	56.55	38.16	30.31	6.22	1.95	0.92	3.84	4.05	16.11	22.67
A1B		34.85	33.21	70.81	48.31	32.3	7.38	7.4	0.76	3.76	6.18	16.08	27.88
A2	نرمال بارش	36.72	32.63	70.58	45.12	35.84	7.59	8.28	0.79	5.97	4.22	16.17	27.28
B1		37.13	34.06	64.77	44.99	34.88	11.36	5.61	0.77	6.01	4.68	16.24	27.86
A1B		3.24	0.63	14.26	10.15	1.99	1.16	5.45	-0.16	-0.08	2.13	-0.03	5.21
A2	تغیرات	5.11	0.05	14.03	6.96	5.53	1.37	6.33	-0.13	2.13	0.17	0.06	4.61
B1		5.52	1.48	8.22	6.83	4.57	5.14	3.66	-0.15	2.17	0.63	0.13	5.19
حالت پایه		-2.22	-0.23	3.94	9.46	13.72	18.23	20.43	18.61	13.73	8.47	3.68	0.03
A1B		-1.89	-0.14	4.62	10.13	14.31	18.64	21.54	18.67	14.12	8.62	3.9	0.08
A2	نرمال دمای کمینه	-2	0.37	4.92	9.85	14.22	18.58	21.07	18.72	14.17	8.76	4.35	0.72
B1		-2.06	-0.26	4.74	10.02	14.2	18.48	21.01	18.88	14.23	8.52	3.73	0.29
A1B		0.33	0.09	0.68	0.67	0.59	0.41	1.11	0.06	0.39	0.15	0.22	0.05
A2	تغیرات	0.22	0.6	0.98	0.39	0.5	0.35	0.64	0.11	0.44	0.29	0.67	0.69
B1		0.16	-0.03	0.8	0.56	0.48	0.25	0.58	0.27	0.5	0.05	0.05	0.26
حالت پایه		7.55	10.36	15.07	21.72	27.07	32.83	34.81	33.92	29.43	23.45	16.07	10.48
A1B		7.38	9.77	15.35	21.77	27.57	33.44	35.16	33.87	29.59	23.36	16.44	10.42
A2	نرمال دمای پیشینه	7.37	10.15	15.65	21.81	27.48	33.26	35.06	33.99	29.79	23.54	17.07	11.12
B1		7.3	9.5	15.47	21.98	27.45	33.16	35	34.15	29.84	23.29	16.44	10.69
A1B		-0.17	-0.59	0.28	0.05	0.5	0.61	0.35	-0.05	0.16	-0.09	0.37	-0.06
A2	تغیرات	-0.18	-0.21	0.58	0.09	0.58	0.43	0.25	0.07	0.36	0.09	1	0.64
B1		-0.25	-0.86	0.4	0.26	0.38	0.33	0.19	0.23	0.41	-0.16	0.37	0.21
حالت پایه		4.58	5.29	5.46	7.02	9.07	11.53	12.1	11.8	10.39	8.36	6.21	4.73
A1B	نرمال ساعت آفتابی	4.51	5.07	5.38	6.87	9.26	11.51	11.88	11.63	10.52	8.3	6.16	4.62
A2		4.6	5.06	5.19	6.94	9.4	11.44	12.07	11.6	10.54	8.39	6.12	4.53
B1		4.53	5.04	5.3	7.03	9.46	11.41	12.06	11.6	10.52	8.35	6.08	4.64
A1B		-0.07	-0.22	-0.08	-0.15	0.19	-0.02	-0.22	-0.17	0.13	-0.06	-0.05	-0.11
A2	تغیرات	0.02	-0.23	-0.27	-0.08	0.33	-0.09	-0.03	-0.2	0.15	0.03	0.09	-0.2
B1		-0.05	-0.25	-0.16	0.01	0.39	-0.12	-0.04	-0.2	0.13	-0.01	0.13	-0.09

های استان به ترتیب در شکل های ۳ تا ۶ به طور موضوعی و جهت مقایسه با یکدیگر نشان داده شده است. در شکل ۳ مشاهده می شود که در دوره زمانی ۲۰۱۱-۲۰۳۰ میزان بارش در سه فصل پاییز، زمستان و بهار در تمام شهرهای استان به استثنای تربت جام که در هر سه فصل مذکور و نیز کاشمر که در پاییز دارای روند کاهشی می باشند، افزایش خواهد یافت. همچنین تغییرات بارش فصل تابستان در همه ایستگاهها ناچیز خواهد بود. بیشترین میزان افزایش بارندگی مربوط به شهر قوچان و کمرتین آن متعلق به ایستگاه سرخس می باشد. این امر با توجه به شرایط جغرافیایی و خصوصیات توپوگرافی دو ایستگاه مذکور معقول به نظر می رسد. لازم به ذکر است که موارد گفته شده در بالا در مورد هر سه سناریو صادق است. شکل ۴ نشان می دهد که بر مبنای هر سه سناریوی مطرح، در همه فصول افزایش نسبی دمای کمینه در تمامی شهرستان های استان در ۲۰ سال آتی رخ خواهد داد. تنها مورد استننا را می توان در پاییز شهرستان سرخس و بر مبنای سناریوی A1B که درواقع معرف بدینانه ترین حالت تغییر اقلیمی، باشد، مشاهده نمود.

با نگاهی اجمالی به تغییرات ماهانه پارامترهای ایستگاه مشهد در جدول ۴، مشاهده می شود که بر اساس برآورد مدل، میزان بارندگی در اغلب ماههای سال به استثنای ماه آگوست در هر سه سناریو و ماه های سپتامبر و نوامبر در سناریوی اول، افزایش می یابد. همچنین دمای کمینه و بیشینه در اغلب ماهها روند افزایشی داشته است و افزایش دمای کمینه معمولاً از افزایش دمای بیشینه بیشتر است. ساعت آفتابی این شهر نیز در بیشتر ماهها کاهش خواهد یافت که منطبق با افزایش بارندگی ناشی از افزایش میزان ابرناکی است. تغییرات فصلی پارامترهای اقلیمی ایستگاه مشهد (شکل ۲) نیز معرف افزایش بارش و دمای کمینه در هر سه سناریو در همه فصل ها می باشد. دمای بیشینه نیز همین روند را به استثنای دو سناریوی A1B و B1 در فصل زمستان نشان داده است. ساعت آفتابی نیز در همه فصل ها کاهش یافته به جز فصل بهار که افزایش بسیار جزئی در آن

چنان‌چه ذکر شد، تغییرات فصلی پارامترهای اقلیمی شامل
بارش، دمای، کمینه، دمای بیشینه و ساعت آفتاب، د، سار استگاه-۱



شکل ۲- پیش‌بینی تغییرات فصلی (الف) بارش، (ب) دمای بیشینه، (ج) دمای کمینه، (د) ساعت آفتابی ایستگاه مشهد در ۲۰ سال آتی با استفاده از ریزمقیاس نمایی آماری سناریوهای مدل HADCM3

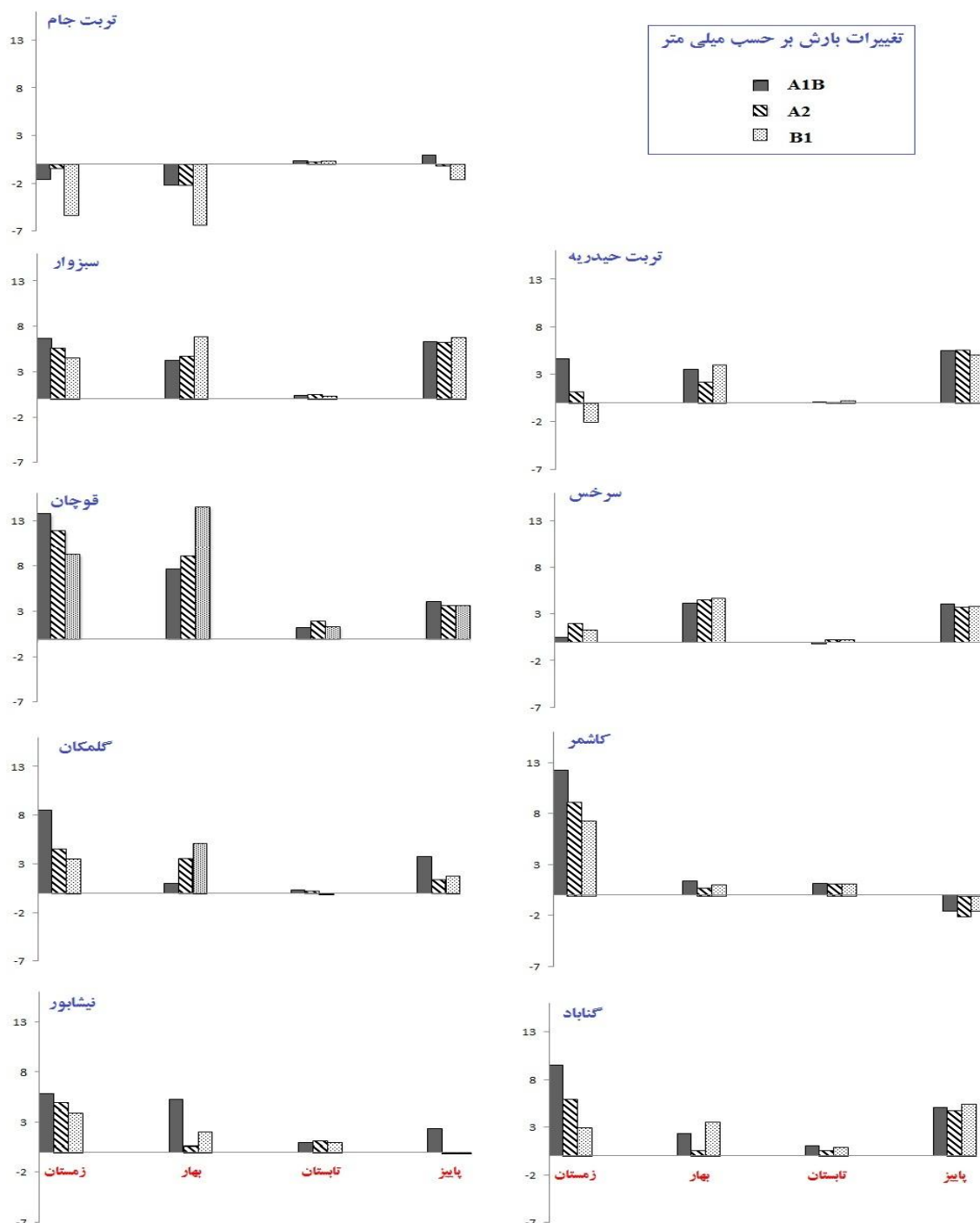
های منتخب استان خراسان رضوی شبهی سازی شد که نتایج حاصل، حاکی از توانمندی بالای این مدل مولد هواشناسی برای تولید داده های روزانه پارامترهای ذکر شده و مؤید تحقیقات صورت گرفته توسط زمنf (۱۵)، الشمی (۶) و بایان و نجفی نیک (۲) می باشد. سپس با استفاده از ریز مقیاس نمایی آماری داده های مدل HADCM3 بر اساس سه سناریوی تغییر اقلیم A2، A1B و B1 در دوره ۲۰۳۰-۲۰۱۱ مشخص شد که استان خراسان رضوی با افزایش نسبی دمای متوسط هوا، میزان بارش و کاهش ساعت آفتابی در این دوره مواجه خواهد شد. ضمن این که قدر مطلق تغییرات دمای کمینه نسبت به تغییرات دمای بیشینه بیشتر خواهد بود. این نتایج نشان می دهد که شرایط اقلیمی استان خراسان رضوی در ۲۰ سال آتی تفاوت محسوسی با شرایط فعلی خواهد داشت که در توافق با نتایج تحقیقات صورت گرفته توسط بایان و همکاران (۱)، عباسی و همکاران (۳) و کمال و مساح بوانی (۴) در سایر مناطق کشور می باشد. بنابراین با توجه به این امر و نیز آگاهی از اثرات منفی مستقیم و غیرمستقیم تغییر اقلیم بر بخش های مختلف اعم از کشاورزی، منابع آب، محیط زیست، بهداشت، صنعت و اقتصاد، برنامه ریزی های بلندمدت و استراتژیک برای مدیریت شرایط جدید استان، امری

در شکل ۵ مشاهده می شود که در رابطه با دمای بیشینه، سه سناریوی مطرح، الگوی مشخصی را تبیین نمی کنند اگرچه به صورت کلی می توان افزایش نسبی دمای بیشینه را در اغلب ایستگاهها مشاهده نمود. همچنین می توان گفت که تغییرات دمای بیشینه کمتر از تغییرات دمای کمینه خواهد بود. بنابراین می توان نتیجه گرفت که افزایش نسبی دمای متوسط هوای استان خراسان رضوی در ۲۰ سال آینده انتظار نابجایی نیست. شکل ۶ نشان می دهد که تغییرات ساعت آفتابی که تابعی از ابرناکی آسمان است در همه ایستگاهها از روند یکسانی پیروی نمی کند. این امر با توجه به شرایط جغرافیایی استان که معمولاً در فصل های مختلف سال متأثر از جریان های مختلف جوی از سمت غرب، شمال و جنوب می باشد، طبیعی به نظر می رسد. با این وجود می توان گفت که اغلب شهرهای استان در فصل سرد سال با کاهش ساعت آفتابی همراه خواهد بود که این مطلب نیز منطبق بر افزایش بارندگی ناشی از ابرناکی آسمان است.

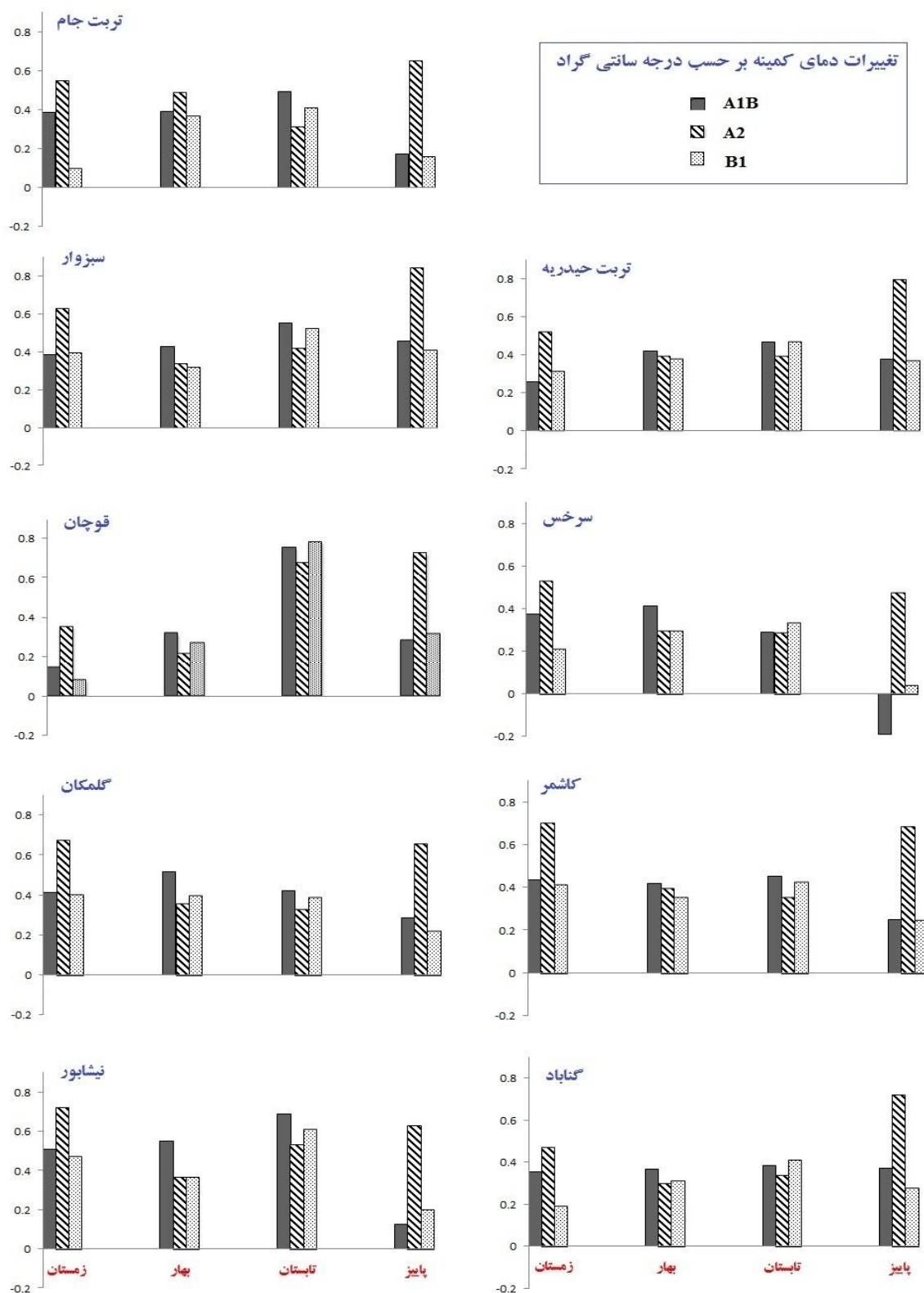
نتیجه گیری

در این پژوهش ابتدا با اجرای مدل LARS-WG5 داده های روزانه بارش، دمای کمینه، دمای بیشینه و ساعت آفتابی در ایستگاه-

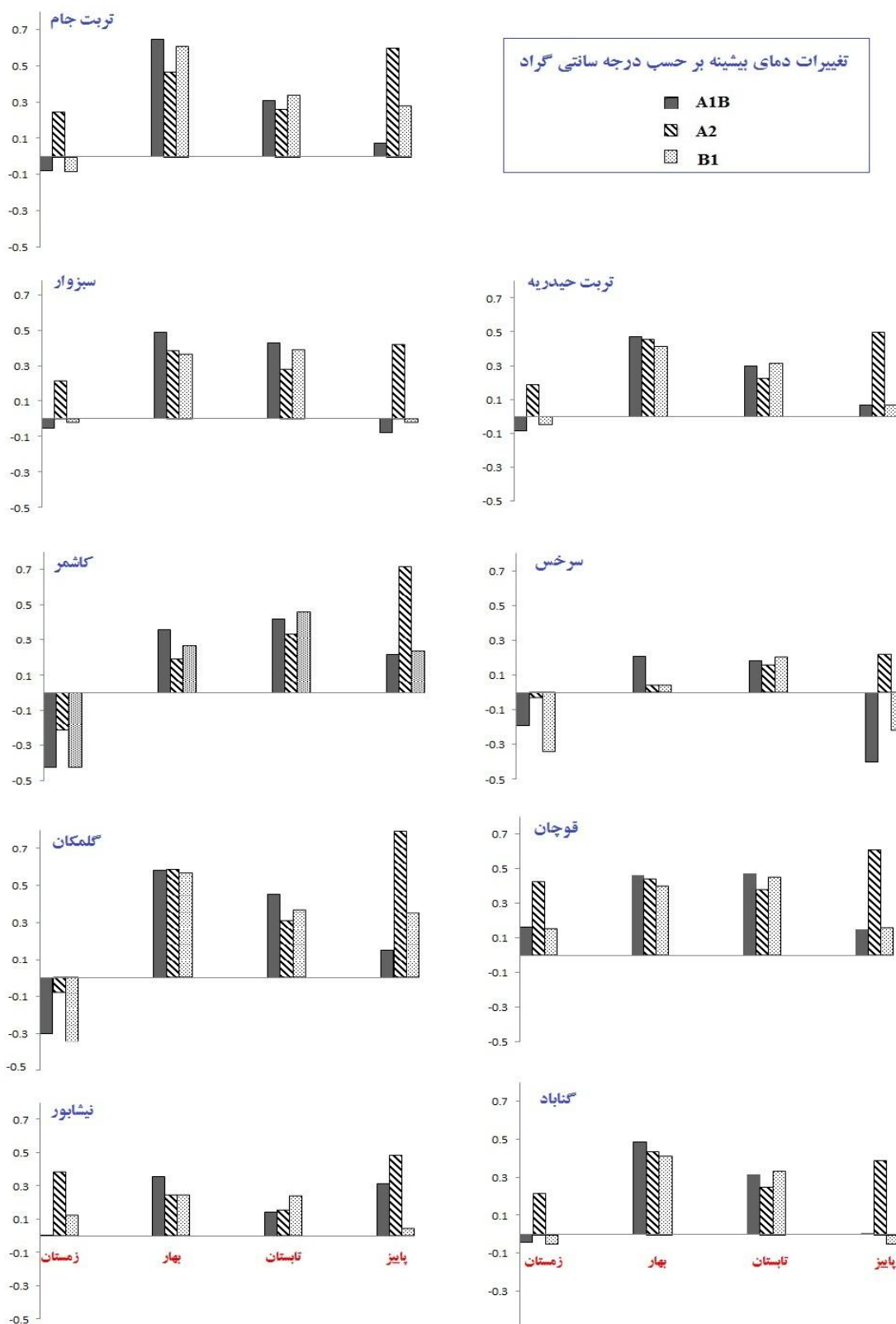
اجتناب ناپذیر بوده و ضروری به نظر می رسد.



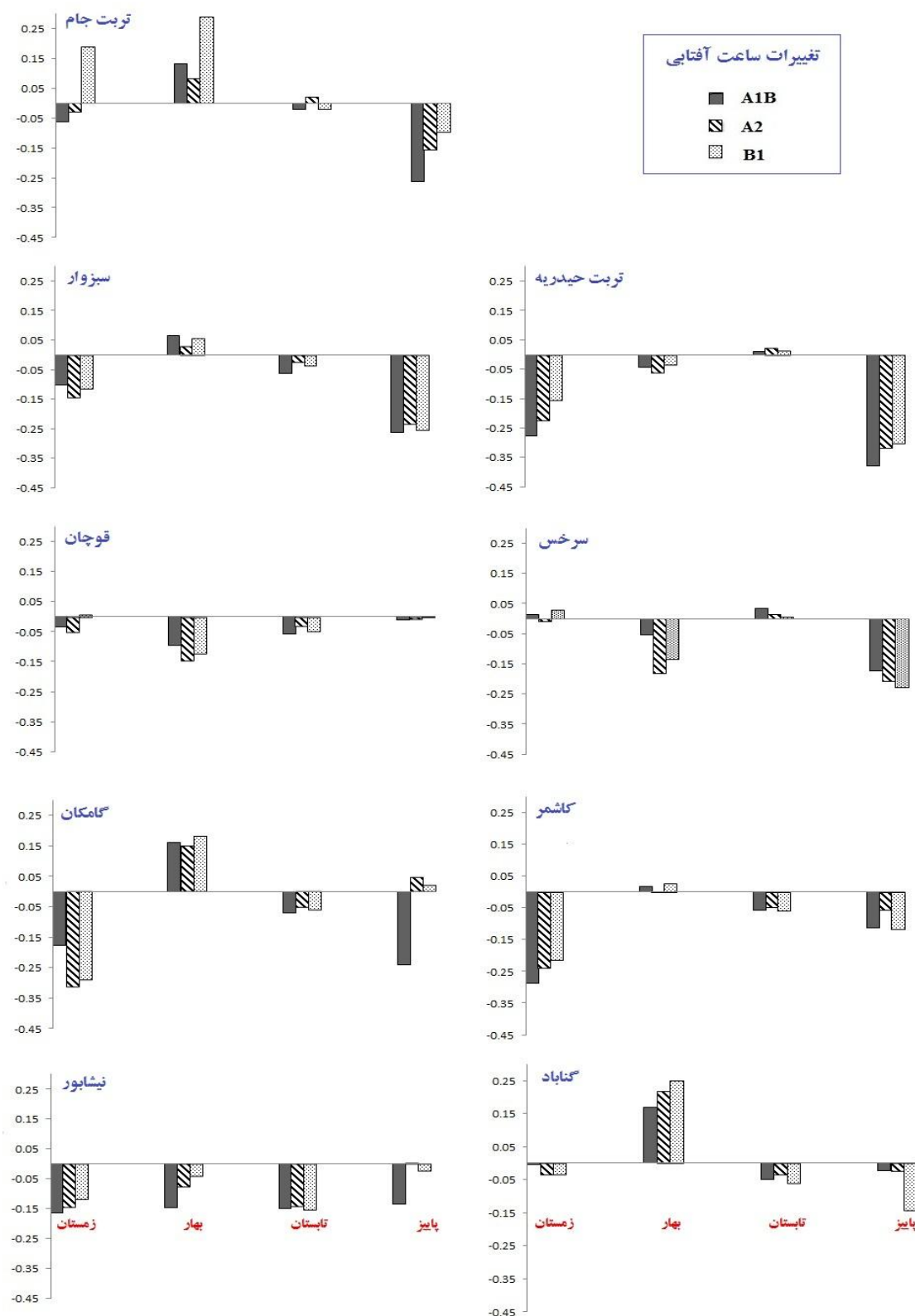
شکل ۳- پیش بینی متوسط تغییرات فصلی بارش استان خراسان رضوی در ۲۰ سال آتی با استفاده از ریز مقیاس نمایی آماری سناریوهای مدل HADCM3



شکل ۴. پیش‌بینی متوسط تغییرات فصلی دمای کمینه استان خراسان رضوی در ۲۰ سال آتی با استفاده از ریزمقیاس نمایی آماری سناریوهای HADCM3 مدل



شکل ۵. پیش‌بینی متوسط تغییرات فصلی دمای بیشینه استان خراسان رضوی در ۲۰ سال آتی با استفاده از ریزمقیاس نمایی آماری سناریوهای HADCM3 مدل



شکل ۶- پیش‌بینی متوسط تغییرات فصلی ساعت آفتابی استان خراسان رضوی در ۲۰ سال آتی با استفاده از ریزمقیاس نمایی آماری سناریوهای HADCM3 مدل

منابع

- ۱- بابائیان ا، نجفی نیک ز، عباسی ف، حبیبی نوخدان م، ادب ح. و ملبوسی ش. ۱۳۸۸. ارزیابی تغییر اقلیم کشور در دوره ۲۰۱۰-۲۰۳۹ میلادی با استفاده از ریزمقیاس نمایی داده های مدل گردش عمومی جو ECHO-G. مجله جغرافیا و توسعه، شماره ۱۶، ۱۳۵-۱۵۲.
- ۲- بابائیان ا. و نجفی نیک ز. ۱۳۸۵. ارزیابی مدل LARS-WG برای مدل سازی پارامترهای هواشناسی استان خراسان، دوره آماری (۱۹۶۱-۲۰۰۳). مجله نیوار، شماره ۶۲، ۶۵-۴۹.
- ۳- عباسی ف، ملبوسی ش، بابائیان ا، اثمری م، و برهانی ر. ۱۳۸۹. پیش بینی تغییرات اقلیمی خراسان جنوبی در دوره ۲۰۱۰-۲۰۳۹ میلادی با استفاده از ریزمقیاس نمایی آماری خروجی مدل ECHO-G. مجله آب و خاک، جلد ۲۴، شماره ۲، ۳۳۳-۳۱۸.
- ۴- کمال ع. و مساح بوانی ع. ۱۳۸۹. تأثیر تغییر و نوسانات اقلیمی بر رواناب حوضه با دخالت عدم قطعیت دو مدل هیدرولوژی. مجله آب و خاک، جلد ۲۴، شماره ۵، ۹۳۱-۹۲۰.
- 5- Dubrovsky M. 1996. Validation of the stochastic Weather Generator Met & ROLL, Meteorogickeo Zpravy, 149, 1362 – 1380.
- 6- Elshamy M.E., Wheater H.S., Gedney N., and Huntingford C. 2005. Evaluation of the rainfall component of weather generator for climate change studies. journal of hydrology, 326, 1-24.
- 7- Haltiner G., and Williams R. 1980. Numirical Prediction and Dynamic Meteorology ,John Wiley & Sons, 115-120.
- 8- Hewitson B.C., and Crane R.G. 1996. Climate downscaling: Techniques and application. Climate Research, 7, 85– 95.
- 9- IPCC. 2007. Summary for policy makers Climate change: The physical science basis. Contribution of working group I to the forth assessment report. Cambridge University Press, 881 PP.
- 10-IPCC. 1995. Impacts, Adaptations and Mitigation of Climate Change: Scientific-Technical Analyses. Cambridge University Press, 878 PP.
- 11-Johnson G.L., Hanson C.L., Hardegree S.P., and Ballard E.B. 1996. Stochastic weather simulation: overview and analysis of two commonly used models. Journal Applied Meteorology, 35, 1878-1896.
- 12-Lane M.E., Kirshen P.H., and Vogel R.M. 1999. Indicators of impact of global climate change on U.S. water resources. ASCE, Journal of Water Resource Planning and Management. 125(4): 194-204.
- 13-McKee T.B., Doesken N.J., and Kleist J. 1995. Drought Monitoring with Multiple Time. American Meteorological Society, Massachusetts, 233-236.
- 14-Mitchell T.D. 2003. Pattern Scaling: An Examination of Accuracy of the Technique for Describing Future Climates. Climatic Change, 60: 217-242.
- 15-Semenov M.A., and Barrow E.M. 2002. LARS-WG a stochastic weather generator for use in climate impact studies. User's manual, Version3.0.
- 16-Weichert A., and Burger G. 1998. 'Linear versus nonlinear techniques in downscaling. Climate Resarch, 10, 83–93.
- 17-Wilby R.L., and Harris I. 2006. A frame work for assessing uncertainties in climate change impacts: low flow scenarios for the River Thames, UK. Water Resources Research , 42, 121- 134.
- 18-Wilby R.L., Conway D., and Jones P.D. 2002. Prospects for downscaling seasonal precipitation variability using conditioned weather generator parameters, hydrological processes. 16, 1215-1234.
- 19-Wilby R.L., Wigley T.M.L., Conway D., Jones P.D., Hewitson B.C., Main J., and Wilks D.S. 1998. Statistical downscaling of General Circulation Model output: A comparison of methods. Water Resources Reserch, 34, 2995– 3008.



Prediction of Seasonal Variations of Climatological Parameters over Next 20 Years by Using Statistical Downscaling Method of HADCM3 Data

(Case Study: Khorasan Razavi Province)

B. Ashraf^{1*} - M. Mousavi Baygi² - G.A. Kamali³ - K. Davari⁴

Received: 18-4-2011

Accepted: 23-7-2011

Abstract

Due to low spatial resolution or simplifying of some micrometeorological phenomena, atmospheric general circulation models are not able to give a good estimation for weather conditions over study area. So their outputs should downscale into weather stations scales. In this research data of HADCM3 downscaled by using LARS-WG5 with three scenarios, confirmed by IPCC including A1B, A2 and B1 and seasonal variations of precipitation, min temperature, max temperature and sunshine hours of Khorasan Razavi province were investigated over 2011- 2030. Results show that the amount of precipitation in all stations will increase in autumn, winter and spring except Torbat-jam. Also the amount of precipitation in Kashmar during the autumn will decrease. The maximum and minimum increases in precipitation are belonging to Ghoochan and Sarakhs respectively. The results also show that the minimum temperature in all seasons and under three scenarios indicate rising trend in most cities. The only exception in this case occurred in autumn for Sarakhs based on A1B scenario. About maximum temperature and sunshine hours, although three scenario would not explain the same pattern, but generally in the next 20 years, the maximum temperature of Khorasan Razavi province, will increase and sunshine hours will decrease. Also despite the variation of maximum temperature is less than minimum temperature, is expected increase of average air temperature in this period. So according to these results, climatic conditions of Khorasan Razavi province in the next 20 years will have noticeable different with the present conditions and seems necessary, long-term and strategic planning to manage this situation.

Keywords: Climate change, Downscaling, general circulation model, LARS-WG5 model

1,2,4- MSc Student and Associated Professors, Department of Water Engineering, Faculty of Agriculture, Ferdowsi University of Mashhad, Respectively

(* Corresponding Author Email: samaneh_ashraf@yahoo.com)

3- Associated Professor, Department of Meteorology, Faculty of Science, Islamic Azad University, Science and Research Branch, Tehran